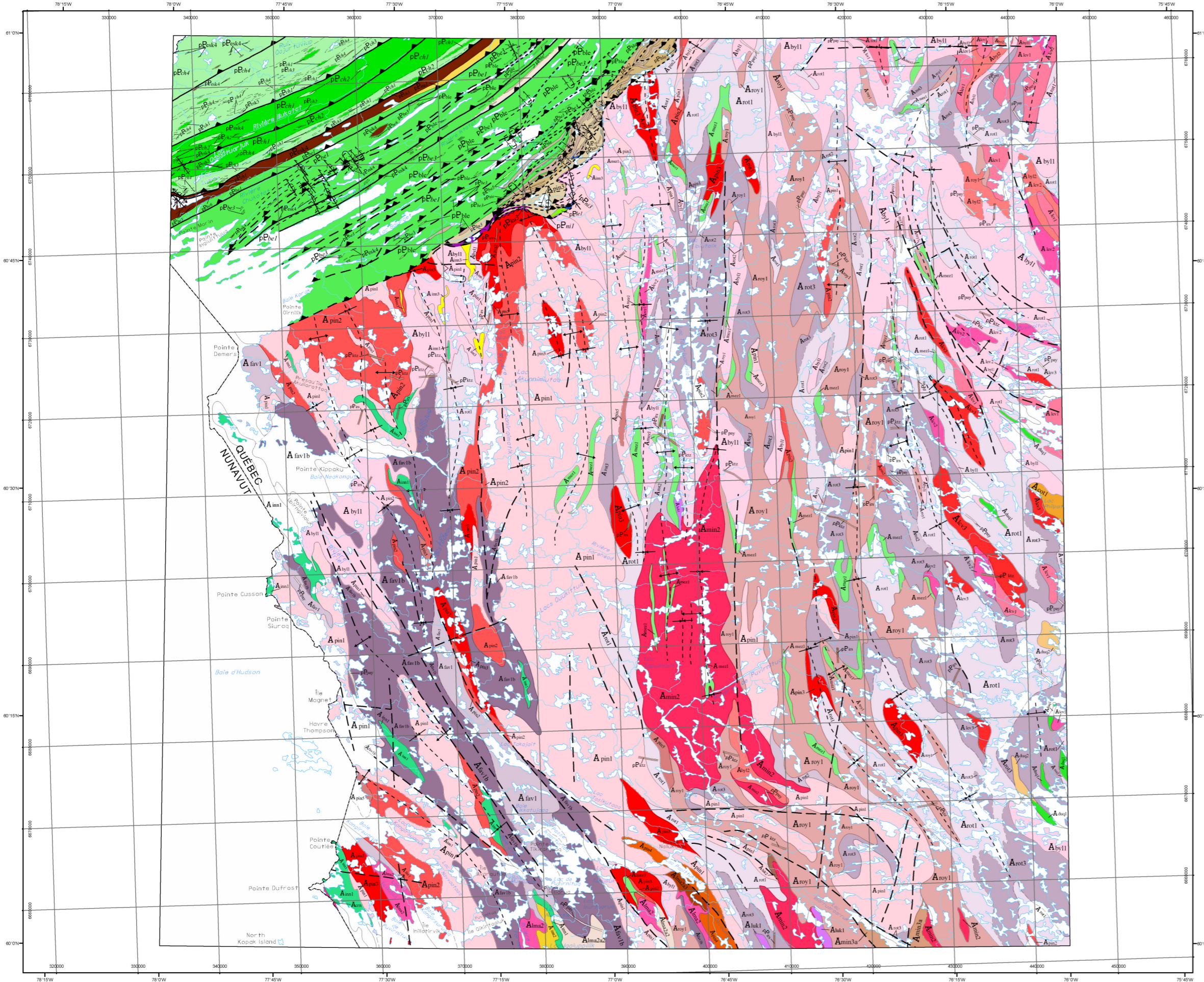


Compilation géologique - POVUNGNITUK

35C



LÉGENDE STRATIGRAPHIQUE

FOSSE DE L'UNGAVA PALÉOPROTÉROZOÏQUE

- Suite ultramafique différenciée du Lac Esker**
 - A_{ul}1** Gabbro; peut également contenir des roches volcanoclastiques et des formations de fer
 - A_{ul}2** Pyroxénite
- Suite gabbroïque de Bélanger**
 - A_{bl}1** Diabase, microgabbro
- Groupe de Chukotat**
 - A_{ch}1** Basalte à plagioclase; peut également contenir des gabbros
 - A_{ch}2** Basalte à pyroxène-plagioclase
 - A_{ch}3** Basalte à pyroxène; peut également contenir des gabbros, des basaltes à plagioclase, des pyroxénites et des gabbros
 - A_{ch}4** Basalte à olivine; peut également contenir des basaltes à pyroxène, des basaltes à plagioclase, des pyroxénites et des gabbros
- Groupe de Povungnituk**
 - Formation de Nuvlic**
 - A_{nu}1** Grès, siltstone
 - Formation de Beauparlant**
 - A_{bp}1** Formation de fer oxydée et carbonatée
 - A_{bp}2** Volcanoclastites
 - A_{bp}3** Phyllade
 - A_{bp}4** Basalte; peut également contenir des phyllades, des volcanoclastites, des formations de fer, des gabbros et des microgabbros
- Groupe de Lamarche**
 - Formation de Nituk**
 - A_{ni}1** Calcaire, calcaire dolomitique
 - A_{ni}2** Phyllade; peut également contenir des basaltes, des siltstones, des grès, des conglomérats, des calcaires, des calcaires dolomitiques, des formations de fer et des microgabbros
 - A_{ni}3** Siltstone, grès et conglomérat; peut également contenir des phyllades, des calcaires dolomitiques, des formations de fer et des microgabbros
 - Formation du lac Leclair**
 - A_{ll}1** Tuf à lapillis et lave carbonatitiques
 - Formation de Kuuvvaluk**
 - A_{ku}1** Formation de fer

SOUS-PROVINCE DE MINTO PALÉOPROTÉROZOÏQUE

- Dykes de la rivière Irsuaq**
 - A_{ir}1** Dykes de gabbro, vert foncé, homogène, massif, texture ophitique, grain moyen à grossier et possèdent localement un clivage; les dykes ont une orientation générale N-S à NNE-SSW
- Dykes de la rivière Payne**
 - A_{py}1** Dykes de diabase, homogène, massive, magnétique, grain fin à aphanitique, gris bleuté en surface fraîche et à patine brun verdâtre à brun noirâtre; les dykes possèdent une orientation générale NW-SE
- Dykes de Klotz**
 - A_{kl}1** Dykes de diabase et de gabbro, homogènes, massifs, texture ophitique, grain moyen à grossier; les dykes possèdent une orientation générale ESE-WNW à E-W

ARCHÉEN

- Complexe de Le Roy**
 - A_{lr}1** Diatexite à biotite + grenat + cordiérite + sillimanite contenant entre 25 et 80 % de leucosome felsique à porphyroblastes de grenat et orthopyroxène; protolithe hétérogène, leucocrate à mésocrate et à grain grossier (psammite) ou homogène, mélanocrate et à grain fin (métapélite); contient des niveaux de formation de fer
- Suite de Corneille**
 - A_{co}1** Granite : à biotite + chlorite et rarement grenat (< 1%), blanchâtre, leucocrate, massif à folié, granulométrie et aspect hétérogènes. Contient de nombreuses enclaves (10 à 50 %) d'amphibolite, de paragneiss et de roche tonalitique
- Suite de Couture**
 - A_{co}2** Anorthosite à gabbro anorthositique, à hornblende ± chlorite ± biotite ± muscovite, foliée, aspect bréchique
- Suite de Quilinaaraluk**
 - A_{qu}1** Gabbro et diorite à hornblende ± clinopyroxène ± biotite, d'aspect massif à folié, localement recoupés par des injections blanchâtres de granite ou de tonalite qui produisent une texture bréchique.
 - A_{qu}2** Roches ultramafiques composées de pyroxénite, de péridotite, de dunité et de hornblende. Ces roches sont massives, de granulométrie moyenne à grossière, de couleur verte foncée à noire et à patine brun chamois. Elles sont localement recoupées par des injections blanchâtres de granite ou de tonalite qui produisent une texture bréchique.
- Suite de Loups Marins**
 - Unité à orthopyroxène**
 - A_{lm}1** Enderbite à biotite + orthopyroxène ± clinopyroxène ± hornblende, leucocrate à mésocrate, massive à très foliée, à grain moyen, équiaxiale, de couleur brun jaunâtre (cassonade); opdalite et charnockite
 - A_{lm}2** Mangérite à biotite + orthopyroxène + feldspath potassique ± clinopyroxène ± hornblende, massive à foliée, grain moyen à grossier, localement porphyrique
 - A_{lm}3** Diorite à hornblende + orthopyroxène ± clinopyroxène, verdâtre à gris-bleu foncé, homogène, foliée et à grain fin à moyen

Les symboles et abréviations utilisés sur cette carte sont décrits dans la publication PRO 2000-08 du ministère des Ressources naturelles et de la Faune.

Suite du lac Minto

- A_{mi}1** Mangérite à biotite + orthopyroxène ± clinopyroxène ± hornblende, massive à foliée, grain moyen à grossier, localement porphyrique
- A_{mi}2** Enderbite et diorite à hypersthène, de teinte verdâtre, d'aspect massif à folié et de granulométrie moyenne à grossière; contiennent entre 5 et 20 % d'amas de minéraux mafiques, et sont injectées par un matériel charnockitique en contact diffus; un peu d'opdalite et de charnockite; enclaves intermédiaires à mafiques fréquentes. Les enclaves et les injections donnent un aspect hétérogène à l'unité

Suite de Pingu

- A_{pi}1** Diorite à biotite + magnétite + titanite ± hornblende, à grain fin à moyen
- A_{pi}2** Syénite quartzifère à biotite, leucocrate, forte linéation (tectonique en L)
- A_{pi}3** Grandiorite blanc rosé à biotite ± hornblende ± quartz bleu, leucocrate, homogène, massive à foliée; grain moyen à grossier; contient des enclaves de roche mafique à ultramafique
- A_{pi}4** Granite blanc rosé à biotite ± hornblende ± quartz bleu, homogène, massif à folié; grain moyen à grossier, équiaxiale; contient des enclaves de roche mafique à ultramafique

Suite de La Chevrotière

- A_{lc}1** Grandiorite à biotite ± hornblende, gris rougeâtre à blanchâtre, leucocrate, homogène, massive à foliée, grain moyen à grossier, équiaxiale; contient des phases granitiques en contact diffus
- A_{lc}2** Granite blanc rosé à biotite ± hornblende, homogène, massif à folié, grain moyen à grossier et équiaxiale
- A_{lc}3** Monzogranite et grandiorite à monzonite quartzifère porphyrique à biotite ± hornblende ± clinopyroxène ± quartz bleu, gris rosé à rougeâtre, foliés à mylonitiques; les porphyroblastes de microcline atteignent 7 cm de longueur;

Suite de Blyot

- A_{bl}1** Granite à grandiorite à biotite ± hornblende, hétérogène, hétérogranulaire, texture saccharoïdale, aspect gneissique; contient des enclaves d'amphibolite, des restes de paragneiss, des amas et des schlierens de biotite, foliation ondulante, gris rosé. Aspect de diatexites
- A_{bl}2** Tonalite à trondhjemite à biotite ± hornblende, hétérogranulaire, texture saccharoïdale, aspect gneissique; contient des enclaves d'amphibolite, des restes de paragneiss, des amas et des schlierens de biotite, foliation ondulante, gris moyen. Aspect de diatexites

Suite de Favard

- A_{fv}1** Tonalite à trondhjemite, à biotite ± hornblende, leucocrate à mésocrate, homogène, massive, foliée ou rubanée; peut contenir des enclaves de diorite et d'amphibolite donnant un aspect plus hétérogène
- A_{fv}2** Tonalite granitisée à biotite ± hornblende, gris pâle à gris rosé, hétérogène, leucocrate, foliée à faiblement foliée, grain fin à moyen; contient des injections de granite hololeucocrate, et des phases granitiques en contact franc ou diffus

Complexe d'Innuksuaq

- A_{in}1** Tuf felsique à cristaux et à lapillis (moins de 3 cm), localement laminés; schiste à séricite et à hornblende
- A_{in}2** Paragneiss à grenat + biotite; peut contenir des niveaux de roche calco-silicatée et de formation de fer
- A_{in}3** Roche métavolcanique de composition mafique à hornblende ± clinopyroxène ± orthopyroxène ± biotite, foliée à granoblastique; contient < 10 % de leucosome felsique à clinopyroxène ± orthopyroxène; niveaux de roche ultramafique, de roche volcanoclastique et de paragneiss

Complexe de Mézard

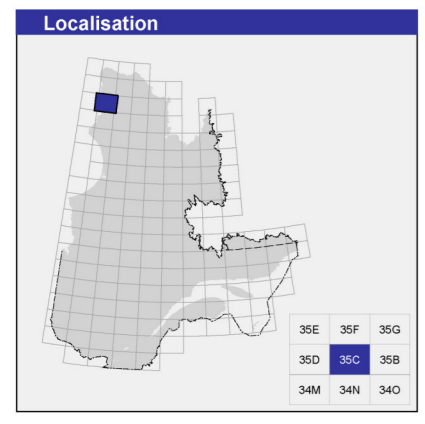
- A_{me}1** Roche métavolcanique de composition mafique à hornblende ± biotite ± clinopyroxène ± orthopyroxène, foliée ou granoblastique; contient < 20 % de leucosome felsique à clinopyroxène ± orthopyroxène; localement, roche felsique d'origine indéterminée et tuf felsique interdigités avec des roches métasédimentaires

Suite de Rochefort

- A_{ro}1** Tonalite granitisée à biotite ± hornblende, gris pâle à gris rosé, hétérogène, leucocrate, foliée à faiblement foliée, grain fin à moyen; contient des injections de granite hololeucocrate et des phases granitiques en contact diffus
- A_{ro}2** Tonalite hétérogène à hornblende + biotite, gris rosé; contient de nombreuses enclaves de gneiss mafique et d'amphibolite (assimilation de metabasalte); comprend des tonalites homogènes et foliées et des injections granitiques
- A_{ro}3** Tonalite à trondhjemite à biotite ± hornblende, homogène, leucocrate à mésocrate, massive, foliée ou rubanée; peut contenir des enclaves de roche intermédiaire à mafique

Complexe de Duquet

- A_{du}1** Paragneiss à biotite + grenat ± cordiérite ± sillimanite + andalousite; contient entre 10 et 75 % de leucosome felsique; présence de niveaux de conglomérat, de marbre et de formation de fer
- A_{du}2** Roche métavolcanique de composition mafique à hornblende, foliée; contient localement des niveaux de tuf hydroclastique et de roche de composition ultramafique



Métadonnées	
Surface de référence géodésique :	Ellipsoïde GRS 80
Système de référence géodésique :	NAD 83 compatible avec le système mondial WGS 84
Projection cartographique :	Mercator transverse universelle (MTU), fuseau 18
Longitude d'origine :	77°00'
Latitude d'origine :	0°

Frontières	
---	Frontière internationale
---	Frontière interprovinciale ou interétatique
---	Frontière Québec - Terre-Neuve-et-Labrador (cette frontière n'est pas définitive)

Sources	
Données	Organisme
Géologie :	Ministère des Ressources naturelles et de la Faune, Géologie Québec
Topographie :	Ministère des Ressources naturelles et de la Faune, Direction de l'information géographique

Réalisation	
Compilation et modifications :	Daniel Lamothe (2006) Fosse de l'Ungava
Révision stratigraphique :	Martin Simard (2007) Province du Supérieur
Références :	Moorhead, J. (1988) - DP-88-05 Topala, N. (1992) - ET-91-07 Maurice, C., Lacombe, P., Berdaz, A., David, J., Sharma, K.N.M., (2004) - RG 2003-06 Stevenson, I. M. (1969) - CGC, mémoire 356, carte 1229A Hocq, M. et al. (1994) - MM 94-01
Assistance technique :	Patrick Olivier, Claude Guérin, Gertrude Janssen, Nelson Leblond, Cynthia Labrecque
Production :	Ministère des Ressources naturelles et de la Faune, Géologie Québec
Diffusion :	Ministère des Ressources naturelles et de la Faune

Le présent document n'a aucune portée légale.
© Gouvernement du Québec

